

Starkniederschlagshöhen und -spenden gemäß KOSTRA-DWD-2010R

Auswertungszeitraum von 1951 - 2010, Januar - Dezember

Rasterfeld: 60032

Zeile: 60

Spalte: 32

Seite: 1/2

| Dauerstufe D | Wiederkehrzeit T | | | | | | | | | | | | | | | | | | |
|--------------|------------------|------|------------|------|------------|------|------------|------|------------|------|------------|------|------------|------|------------|------|------------|------|------------|
| | 1 a | | 2 a | | 3 a | | 5 a | | 10 a | | 20 a | | 30 a | | 50 a | | 100 a | | |
| min | Std | mm | l / (s ha) | mm | l / (s ha) | mm | l / (s ha) | mm | l / (s ha) | mm | l / (s ha) | mm | l / (s ha) | mm | l / (s ha) | mm | l / (s ha) | mm | l / (s ha) |
| 5 | | 4,8 | 160,0 | 6,6 | 220,0 | 7,6 | 253,3 | 8,9 | 296,7 | 10,7 | 356,7 | 12,5 | 416,7 | 13,5 | 450,0 | 14,8 | 493,3 | 16,6 | 553,3 |
| 10 | | 7,8 | 130,0 | 10,2 | 170,0 | 11,6 | 193,3 | 13,4 | 223,3 | 15,8 | 263,3 | 18,2 | 303,3 | 19,6 | 326,7 | 21,4 | 356,7 | 23,8 | 396,7 |
| 15 | | 9,8 | 108,9 | 12,7 | 141,1 | 14,4 | 160,0 | 16,5 | 183,3 | 19,4 | 215,6 | 22,3 | 247,8 | 24,0 | 266,7 | 26,1 | 290,0 | 29,0 | 322,2 |
| 20 | | 11,3 | 94,2 | 14,6 | 121,7 | 16,5 | 137,5 | 18,9 | 157,5 | 22,2 | 185,0 | 25,5 | 212,5 | 27,4 | 228,3 | 29,8 | 248,3 | 33,1 | 275,8 |
| 30 | | 13,3 | 73,9 | 17,2 | 95,6 | 19,5 | 108,3 | 22,4 | 124,4 | 26,3 | 146,1 | 30,2 | 167,8 | 32,5 | 180,6 | 35,4 | 196,7 | 39,3 | 218,3 |
| 45 | | 15,0 | 55,6 | 19,7 | 73,0 | 22,5 | 83,3 | 25,9 | 95,9 | 30,6 | 113,3 | 35,3 | 130,7 | 38,1 | 141,1 | 41,5 | 153,7 | 46,2 | 171,1 |
| 60 | | 16,1 | 44,7 | 21,4 | 59,4 | 24,5 | 68,1 | 28,5 | 79,2 | 33,8 | 93,9 | 39,1 | 108,6 | 42,2 | 117,2 | 46,2 | 128,3 | 51,5 | 143,1 |
| 90 | | 17,5 | 32,4 | 23,0 | 42,6 | 26,3 | 48,7 | 30,3 | 56,1 | 35,8 | 66,3 | 41,3 | 76,5 | 44,6 | 82,6 | 48,6 | 90,0 | 54,1 | 100,2 |
| 120 | 2 | 18,6 | 25,8 | 24,2 | 33,6 | 27,5 | 38,2 | 31,7 | 44,0 | 37,3 | 51,8 | 43,0 | 59,7 | 46,3 | 64,3 | 50,5 | 70,1 | 56,1 | 77,9 |
| 180 | 3 | 20,2 | 18,7 | 26,1 | 24,2 | 29,5 | 27,3 | 33,8 | 31,3 | 39,6 | 36,7 | 45,5 | 42,1 | 48,9 | 45,3 | 53,2 | 49,3 | 59,0 | 54,6 |
| 240 | 4 | 21,5 | 14,9 | 27,5 | 19,1 | 31,0 | 21,5 | 35,4 | 24,6 | 41,3 | 28,7 | 47,3 | 32,8 | 50,8 | 35,3 | 55,2 | 38,3 | 61,2 | 42,5 |
| 360 | 6 | 23,4 | 10,8 | 29,6 | 13,7 | 33,2 | 15,4 | 37,7 | 17,5 | 43,9 | 20,3 | 50,1 | 23,2 | 53,7 | 24,9 | 58,3 | 27,0 | 64,5 | 29,9 |
| 540 | 9 | 25,4 | 7,8 | 31,8 | 9,8 | 35,6 | 11,0 | 40,3 | 12,4 | 46,7 | 14,4 | 53,1 | 16,4 | 56,8 | 17,5 | 61,5 | 19,0 | 67,9 | 21,0 |
| 720 | 12 | 27,0 | 6,3 | 33,6 | 7,8 | 37,4 | 8,7 | 42,2 | 9,8 | 48,8 | 11,3 | 55,3 | 12,8 | 59,1 | 13,7 | 64,0 | 14,8 | 70,5 | 16,3 |
| 1080 | 18 | 29,4 | 4,5 | 36,2 | 5,6 | 40,1 | 6,2 | 45,1 | 7,0 | 51,9 | 8,0 | 58,7 | 9,1 | 62,6 | 9,7 | 67,6 | 10,4 | 74,4 | 11,5 |
| 1440 | 24 | 31,2 | 3,6 | 38,1 | 4,4 | 42,2 | 4,9 | 47,3 | 5,5 | 54,2 | 6,3 | 61,2 | 7,1 | 65,2 | 7,5 | 70,4 | 8,1 | 77,3 | 8,9 |
| 2880 | 48 | 37,5 | 2,2 | 45,2 | 2,6 | 49,6 | 2,9 | 55,3 | 3,2 | 62,9 | 3,6 | 70,5 | 4,1 | 75,0 | 4,3 | 80,7 | 4,7 | 88,3 | 5,1 |
| 4320 | 72 | 41,8 | 1,6 | 49,9 | 1,9 | 54,6 | 2,1 | 60,5 | 2,3 | 68,5 | 2,6 | 76,6 | 3,0 | 81,3 | 3,1 | 87,2 | 3,4 | 95,3 | 3,7 |

Angaben in mm: Bemessungsniederschlagswerte h(n)

Angaben in l / (s ha): Regenspende R(n) mit $R(n) = h(n) \times 1,666667 / D[\text{min}]$

Toleranzbereiche:

+/- 10 % für $1 \text{ a} \leq T \leq 5 \text{ a}$

+/- 15 % für $5 \text{ a} < T \leq 50 \text{ a}$

+/- 20 % für $50 \text{ a} < T \leq 100 \text{ a}$

Datenbasis: KOSTRA-DWD-2010R des Deutschen Wetterdienstes. Die Regenspende wurde auf Basis des Bemessungsniederschlags zur jeweiligen Andauer berechnet.

Für die Richtigkeit und Aktualität der Angaben wird keine Gewähr übernommen. Erstellt 07/2022.

Starkniederschlagshöhen und -spenden gemäß KOSTRA-DWD-2010R

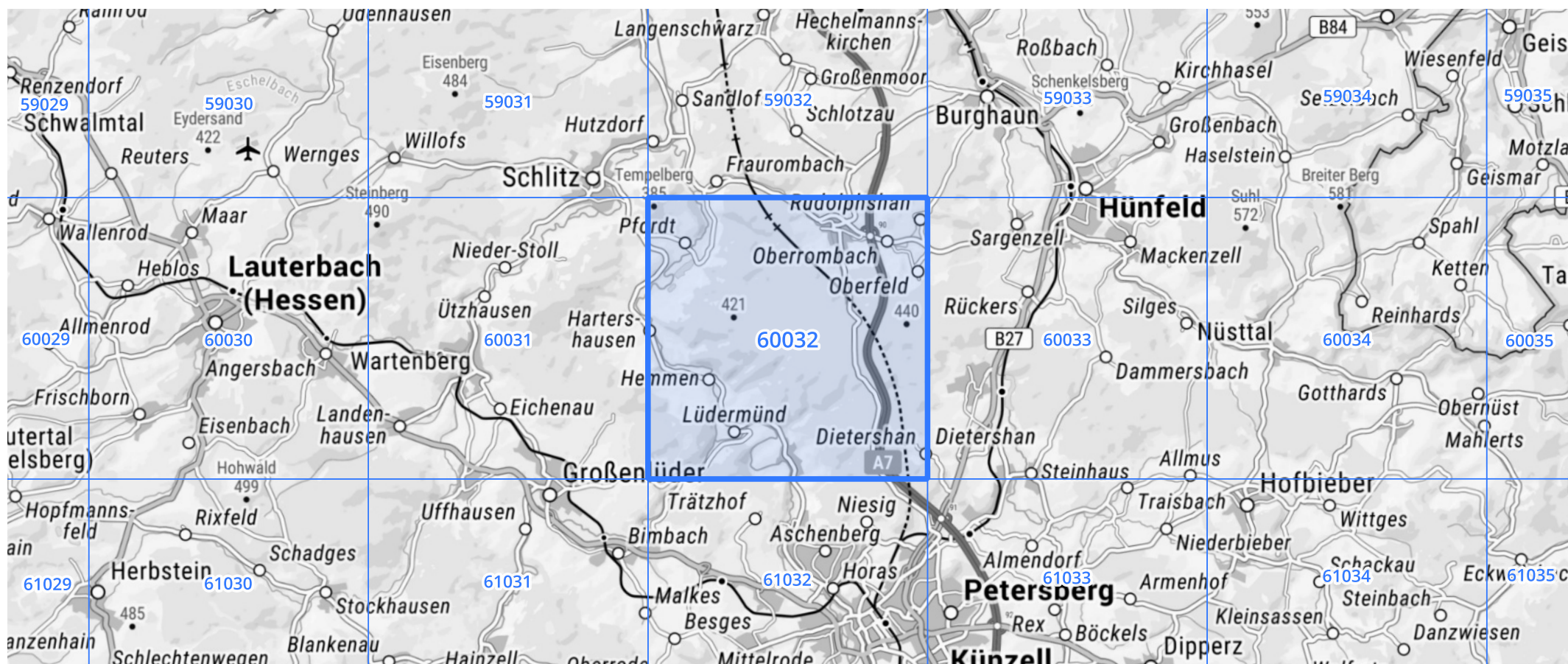
Auswertungszeitraum von 1951 - 2010, Januar - Dezember

Rasterfeld: 60032

Zeile: 60

Spalte: 32

Seite: 2/2



Quelle Rasterdaten: KOSTRA-DWD-2010R des Deutschen Wetterdienstes.

Kartendarstellung: © Bundesamt für Kartographie und Geodäsie (2022), Datenquellen: https://sgx.geodatenzentrum.de/web_public/gdz/datenquellen/Datenquellen_TopPlusOpen.html

Für die Richtigkeit und Aktualität der Angaben wird keine Gewähr übernommen. Erstellt 07/2022.